



Universidad de Alcalá

*Dinámica y mecanismos de segregación y
coexistencia en las principales especies de
Quercus ibéricas*

Miguel Angel de Zavala

Jornada de presentación del libro "Oaks Physiological Ecology"

Zaragoza, 15 de junio de 2018

Conceptos clave

- **Impactos:** efectos específicos y cuantificables atribuibles al cambio climático.
- **Vulnerabilidad:** consta de tres componentes.




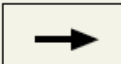




-Exposición: la severidad del cambio climático que es probable que experimente una población o especie en una determinada región. que localidad o

-Sensibilidad: el grado en el que el crecimiento, reproducción, o supervivencia de los individuos de una especie) dependen del clima reclutamiento población (de una determinada predominante.
A nivel de especie es el grado en el que la persistencia de las diferentes poblaciones dependen del clima.

-Capacidad de adaptación: la capacidad de una especie, o de las que la constituyen, de hacer frente a los efectos poblaciones negativos del cambio climático.

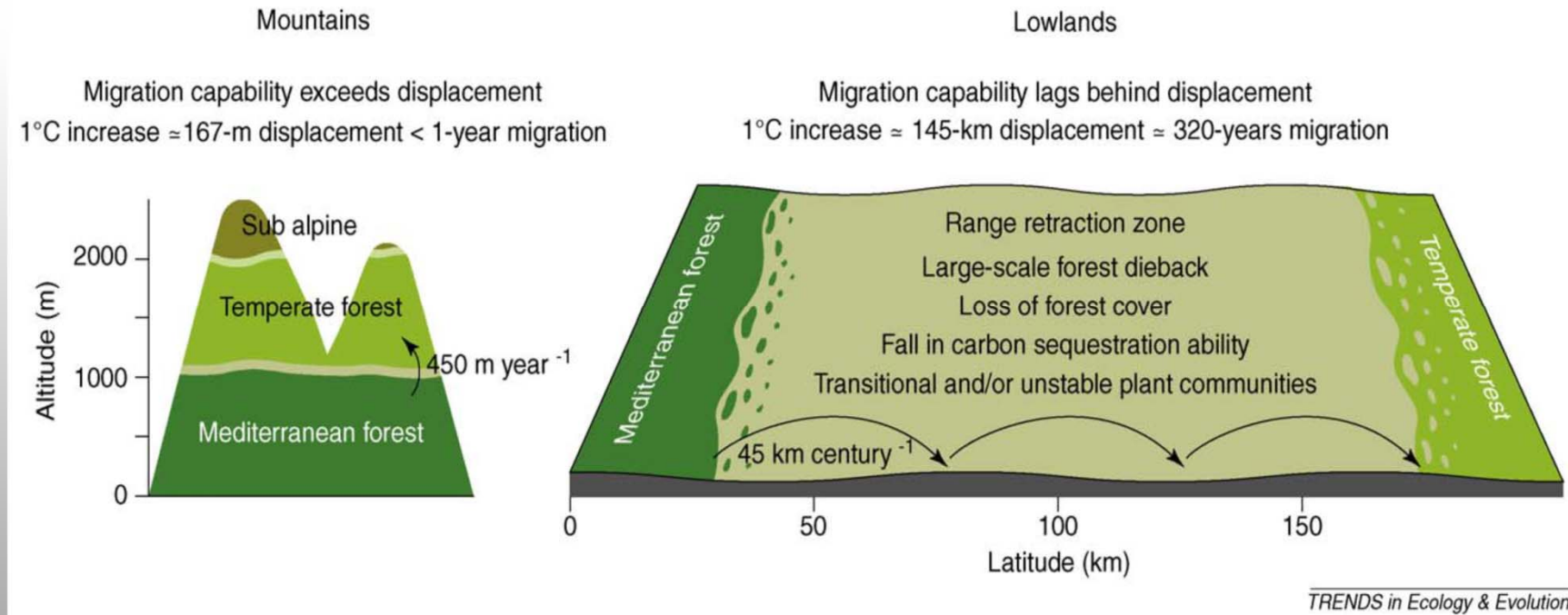
- **Adaptación:** la intervención humana que busca facilitar el ajuste de los sistemas naturales o humanos al clima real o proyectado y sus efectos.

		Habitat change	Climate change	Invasive species	Over-exploitation	Pollution (nitrogen, phosphorus)
Forest	Boreal	↗	↑	↗	→	↑
	Temperate	↘	↑	↑	→	↑
	Tropical	↑	↑	↑	↗	↑
Dryland	Temperate grassland	↗	↑	→	→	↑
	Mediterranean	↗	↑	↑	→	↑
	Tropical grassland and savanna	↗	↑	↑	↘	↑
	Desert	→	↑	→	→	↑

Driver's impact on biodiversity over the last century		Driver's current trends		
Low		Decreasing impact		
Moderate		Continuing impact		
High		Increasing impact		
Very high		Very rapid increase of the impact		Source: Millennium Ecosystem Assessment

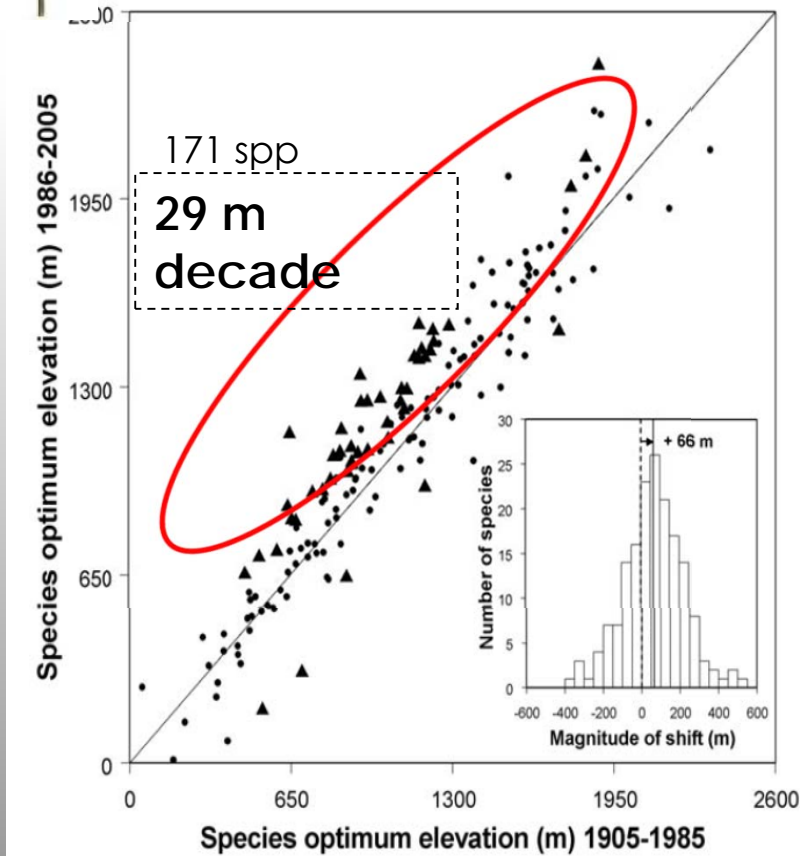
<http://www.youtube.com/watch?v=MaKKKdoLc2g>

Importancia ecotonos





Gradientes altitudinales



Lenoir *et al.* 2008, *Science*

Gradientes latitudinales

6 km
decade

1,700 spp



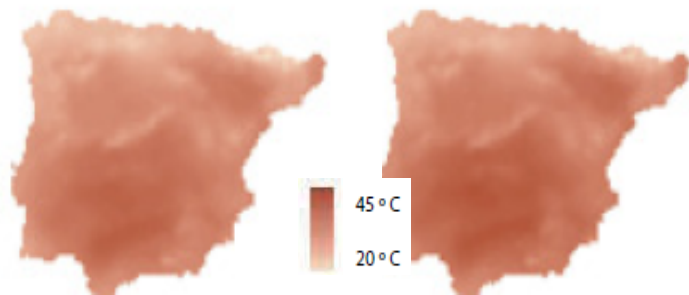
Parmesan & Yohe 2003, *Nature*

Classical Species Distribution Models (SDM)

CLIMATE

2021-2050

2051-2080



*SPECIES DISTRIBUTION
(presence-absence)*

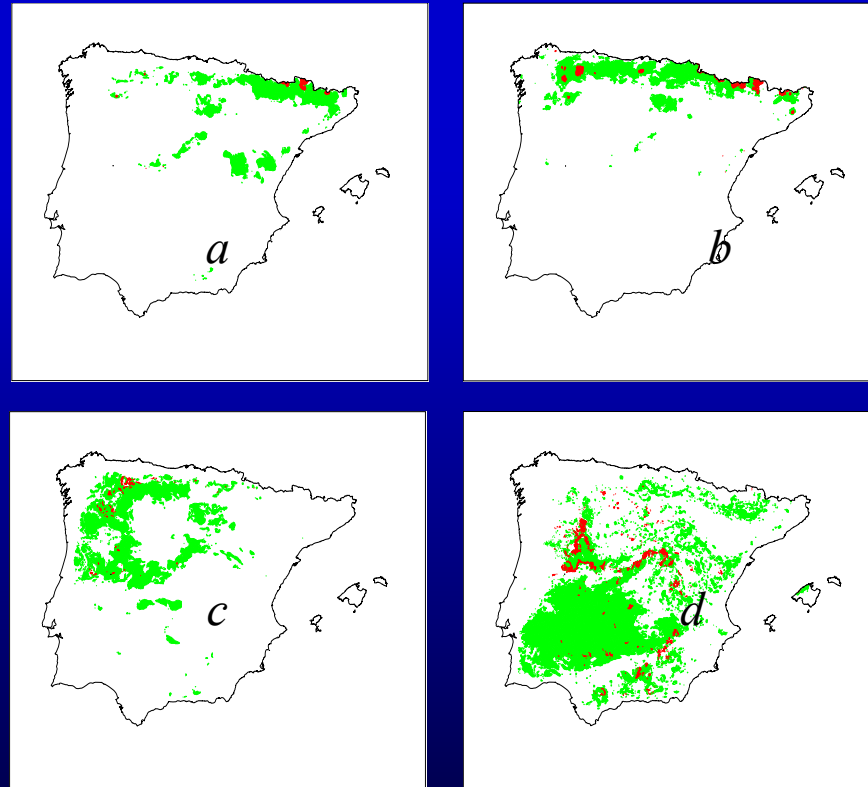
2020-2050

2051-2080



Araujo et al. 2011

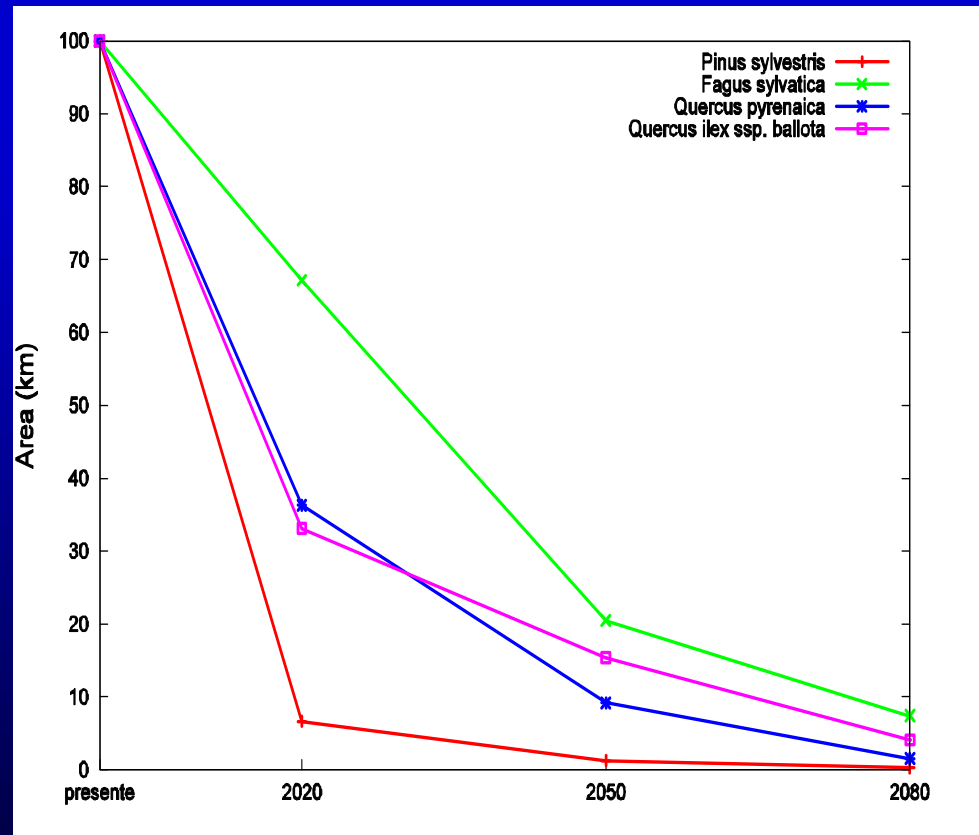
Vulnerability to climate change: potential tree species distributions



Source Benito Garzón et al. 2009

Changes in potential distribution of tree species; current (green) and 2080 (red) under scenario A2 CSIRO-Mk2 for *Pinus sylvestris* (a), *Fagus sylvatica* (b), *Quercus pyrenaica* (c) and *Quercus ilex* subsp. *ballota* (d)

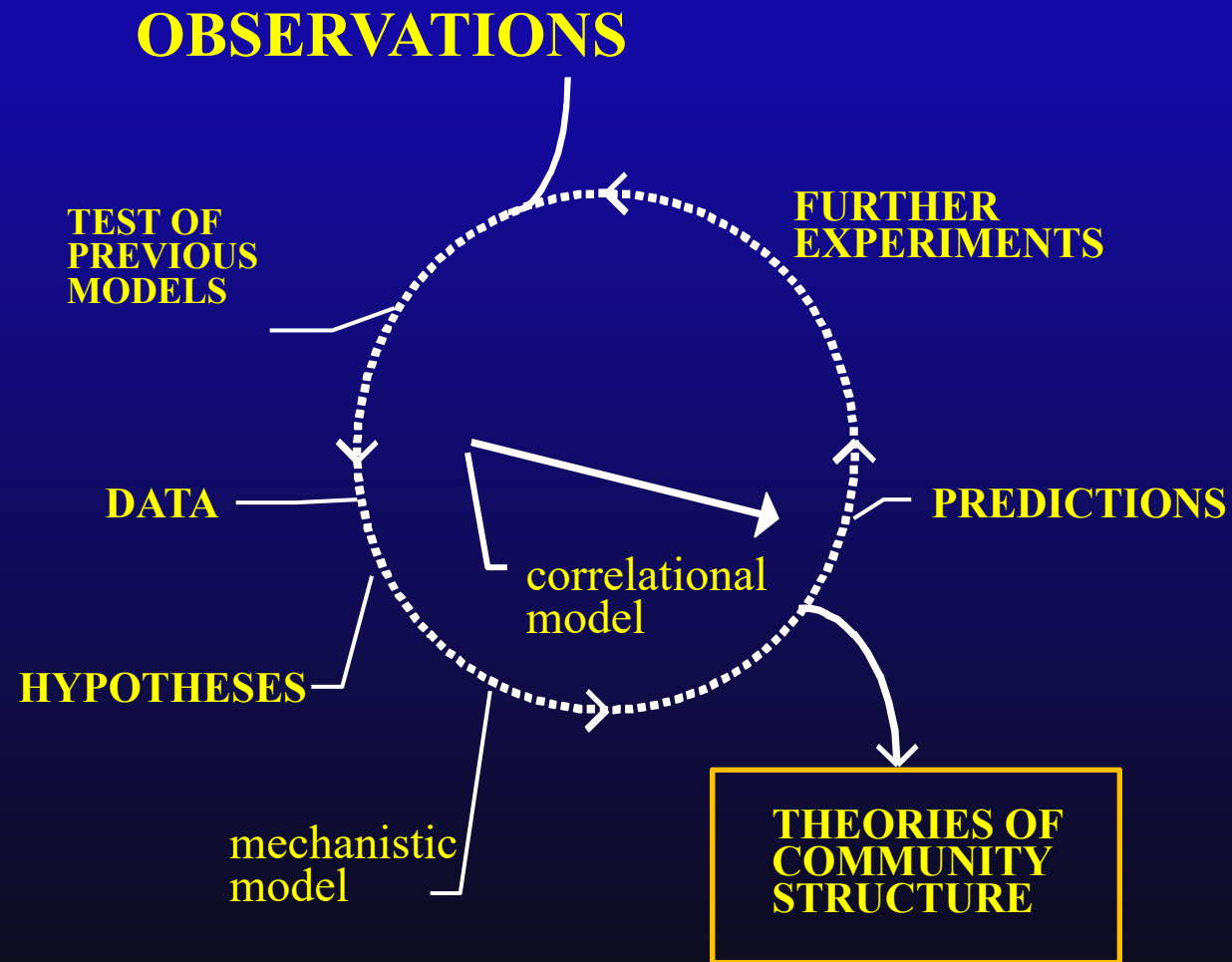
Vulnerability to climate change: potential tree species distributions



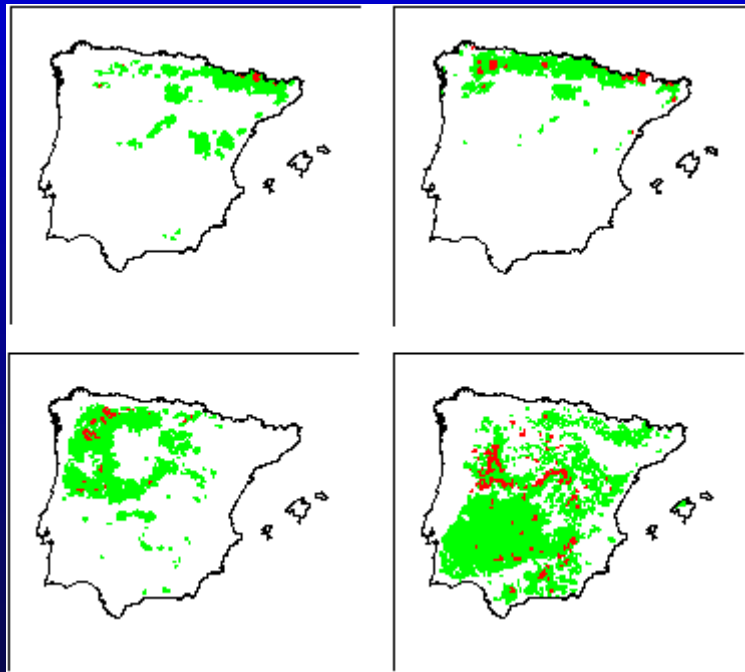
Source Benito Garzón et al. 2009

Changes in potential distribution of tree species. Current = 100%. Potential area decreases according to A2 CSIRO-Mk2 for 2020, 2050 and 2080.

The Role of Models in Global Change Research



Including ecological and adaptive mechanisms in vulnerability models.



Genes & organismic

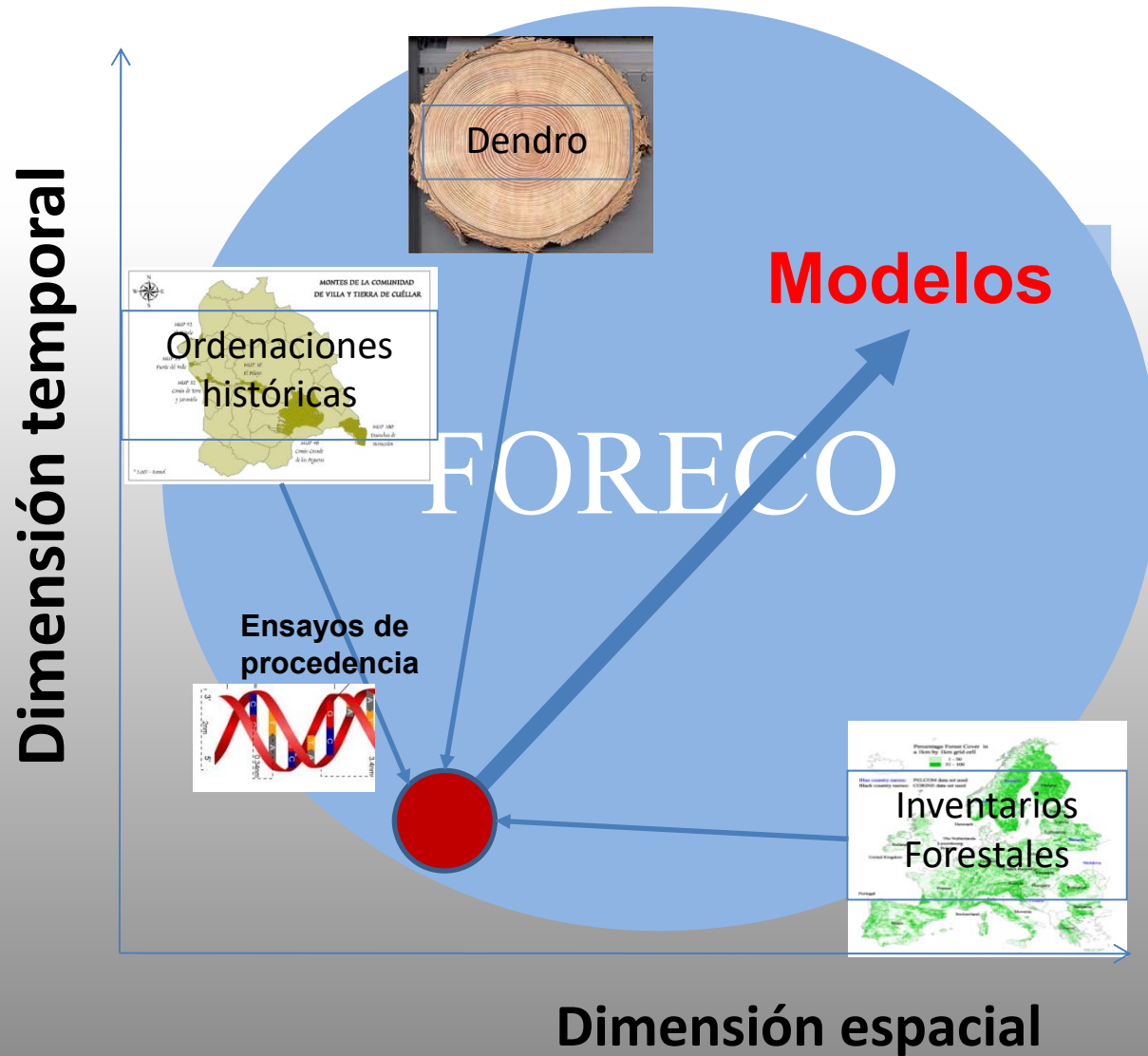
Epigenesis.
Evolution/Local adaptation
Plasticity

Population and communities

Demographic compensation
Migration (dispersal)
Diversity/Stability

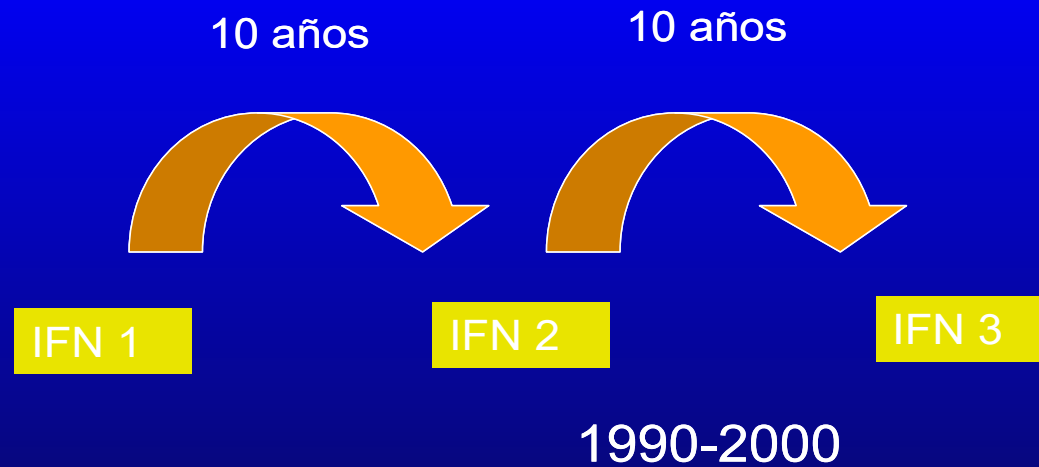
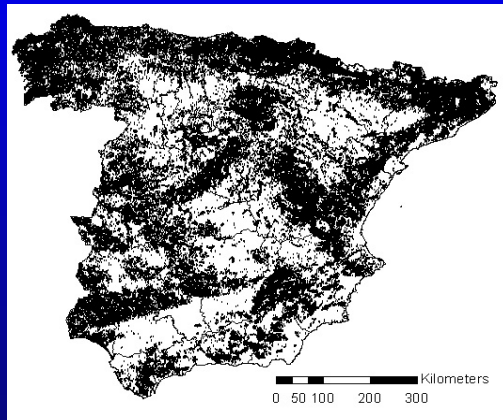
Ecosystem & landscape.

CO₂ fertilization
Land use governance





Temporal sampling



Forest plot distribution IFN (89365 plots) in continental Spain (1 plot per Km²).

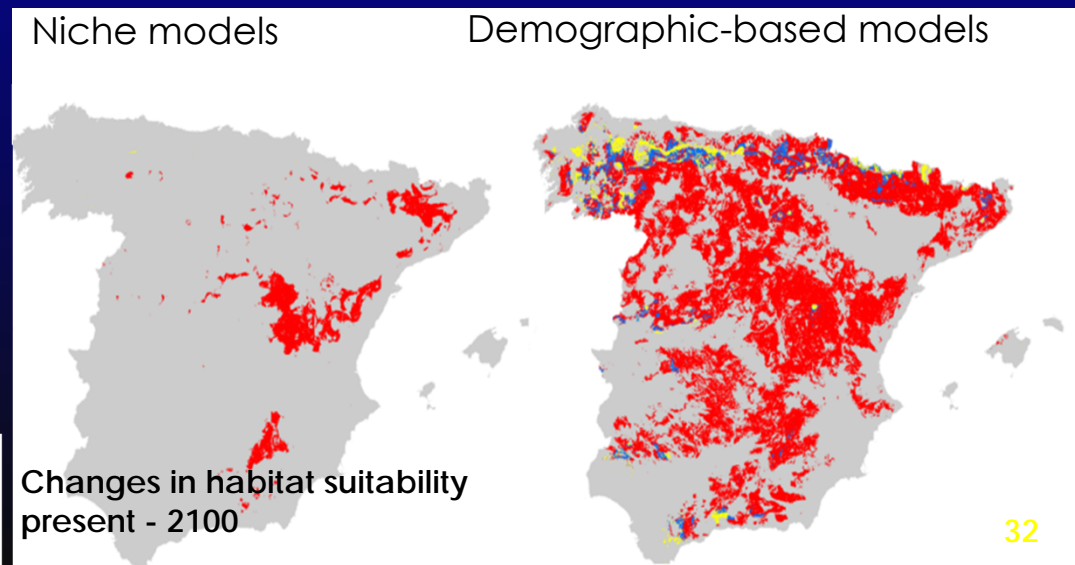
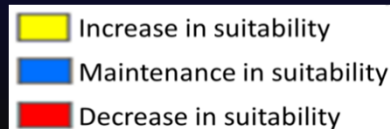
Benito-Garzón et al. (2013). Inter-specific differences in tree growth and mortality responses to climate determine potential species distribution limits in Iberian forests. *Global Ecology and Biogeography*. DOI: 10.1111/geb.12075

<i>Species</i>	Growth	Mortality
<i>Pinus halepensis</i>	↗	↗
<i>P. pinea</i>	↗	↗
<i>P. pinaster</i>	↗	↗
<i>P. nigra</i>	↗	↗
<i>P. sylvestris</i>	↗	↗

<i>Species</i>	Growth	Mortality
<i>Quercus suber</i>	↗	↘
<i>Q. petraea</i>	↘	↗
<i>Q. robur</i>	↗	↗
<i>Abies alba</i>	↗	↗
<i>Castanea sativa</i>	↗	↗
<i>Fagus sylvatica</i>	↗	↗

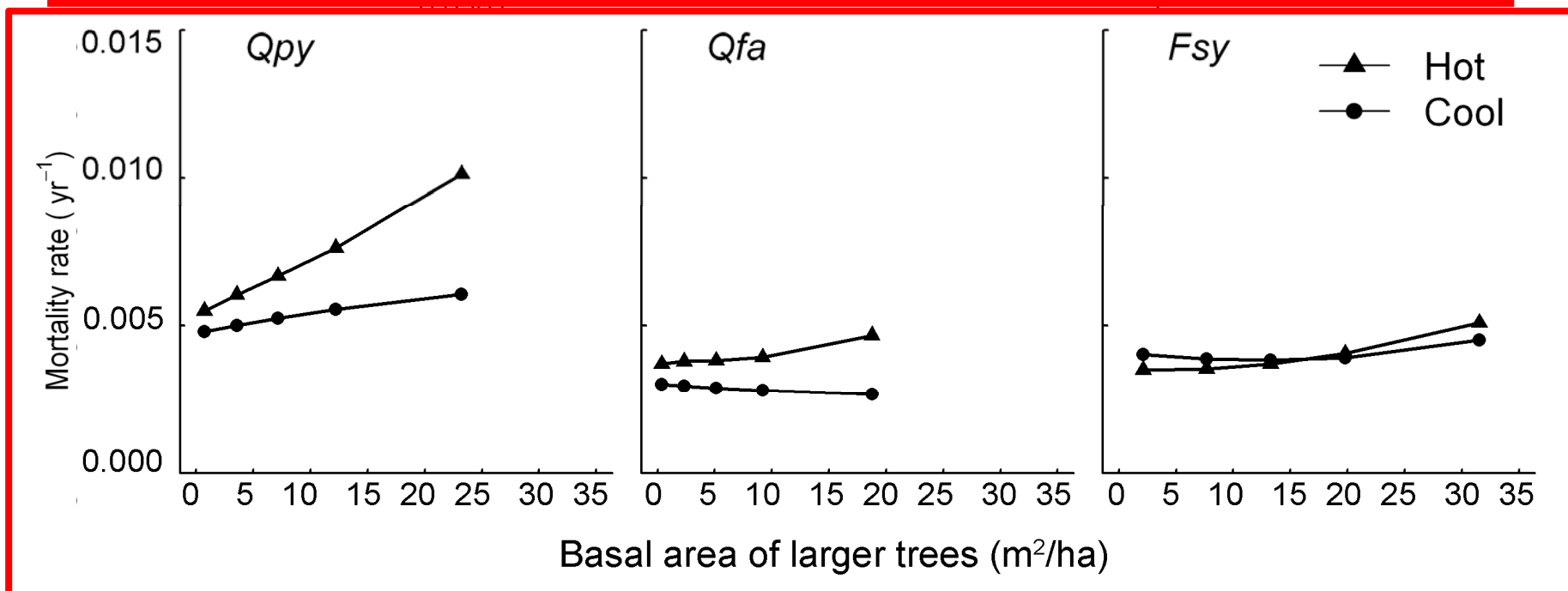
Compare to classical niche models

- Habitat **reductions**: Rear-edge Iberian Peninsula
- Habitat **expansion**: Mediterranean species



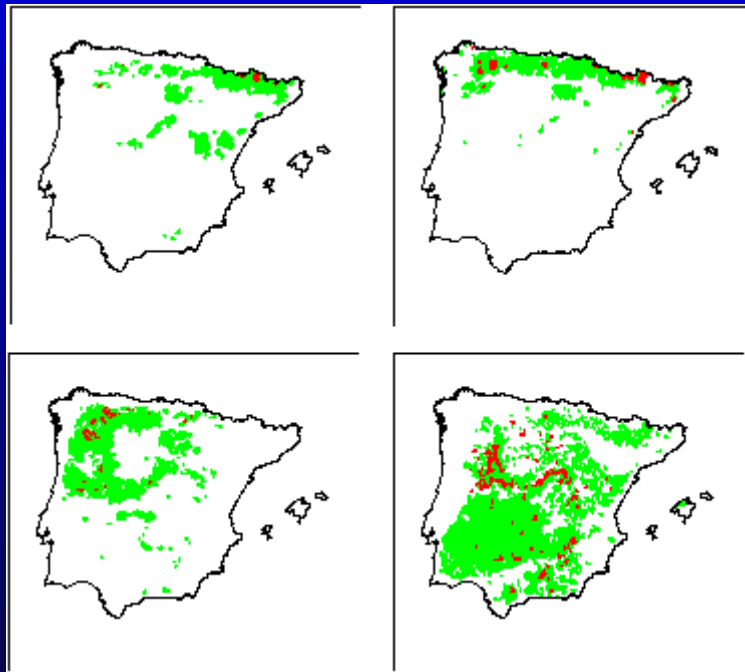
Ruiz-Benito et al (2013). Patterns and drivers of tree mortality in Iberian forests: climatic effects are modified by competition. PLoS ONE 8: e56843. doi: 10.1371/journal.pone.0056843

↑ mortality rates in hot sites at high competition levels



- | | | | |
|-----|-------------------------|-----|--------------------------|
| —■— | <i>Pinus halepensis</i> | —▽— | <i>Quercus ilex</i> |
| —●— | <i>Pinus pinea</i> | —△— | <i>Quercus suber</i> |
| —▲— | <i>Pinus pinaster</i> | —◻— | <i>Quercus pyrenaica</i> |
| —×— | <i>Pinus nigra</i> | —○— | <i>Quercus faginea</i> |
| —+— | <i>Pinus sylvestris</i> | —◇— | <i>Fagus sylvatica</i> |
| —*— | <i>Pinus uncinata</i> | | |

Including ecological and adaptive mechanisms in vulnerability models.



Genes & organismic

Epigenesis.
Evolution/Local adaptation
Plasticity

Population and communities

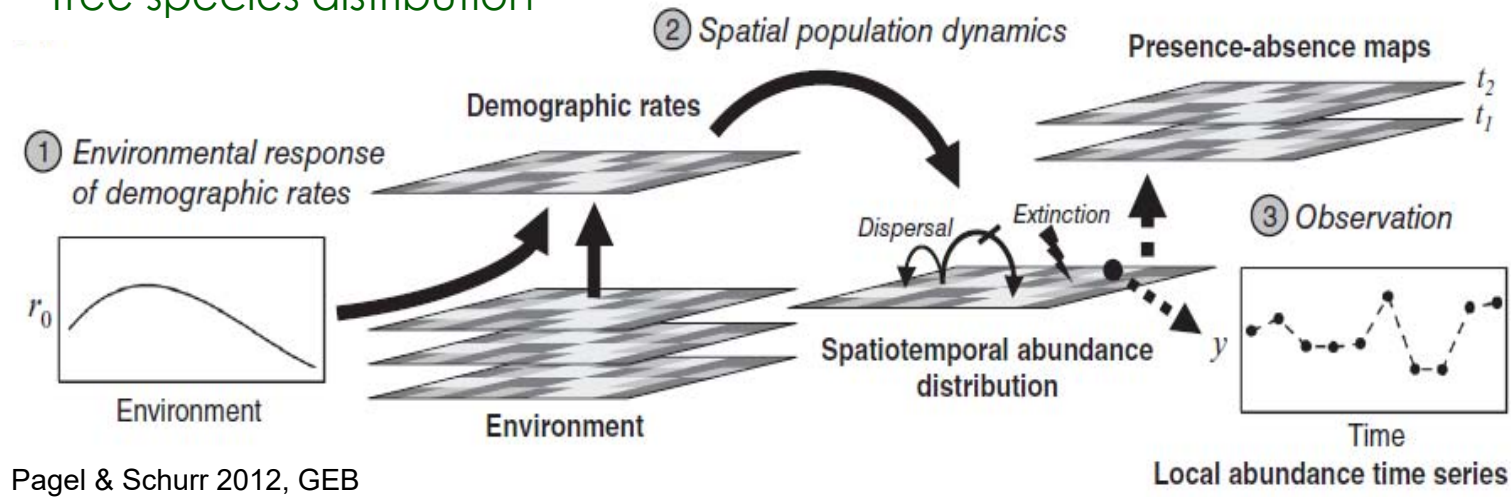
Demographic compensation
Migration (dispersal)
Diversity/Stability

Ecosystem & landscape.

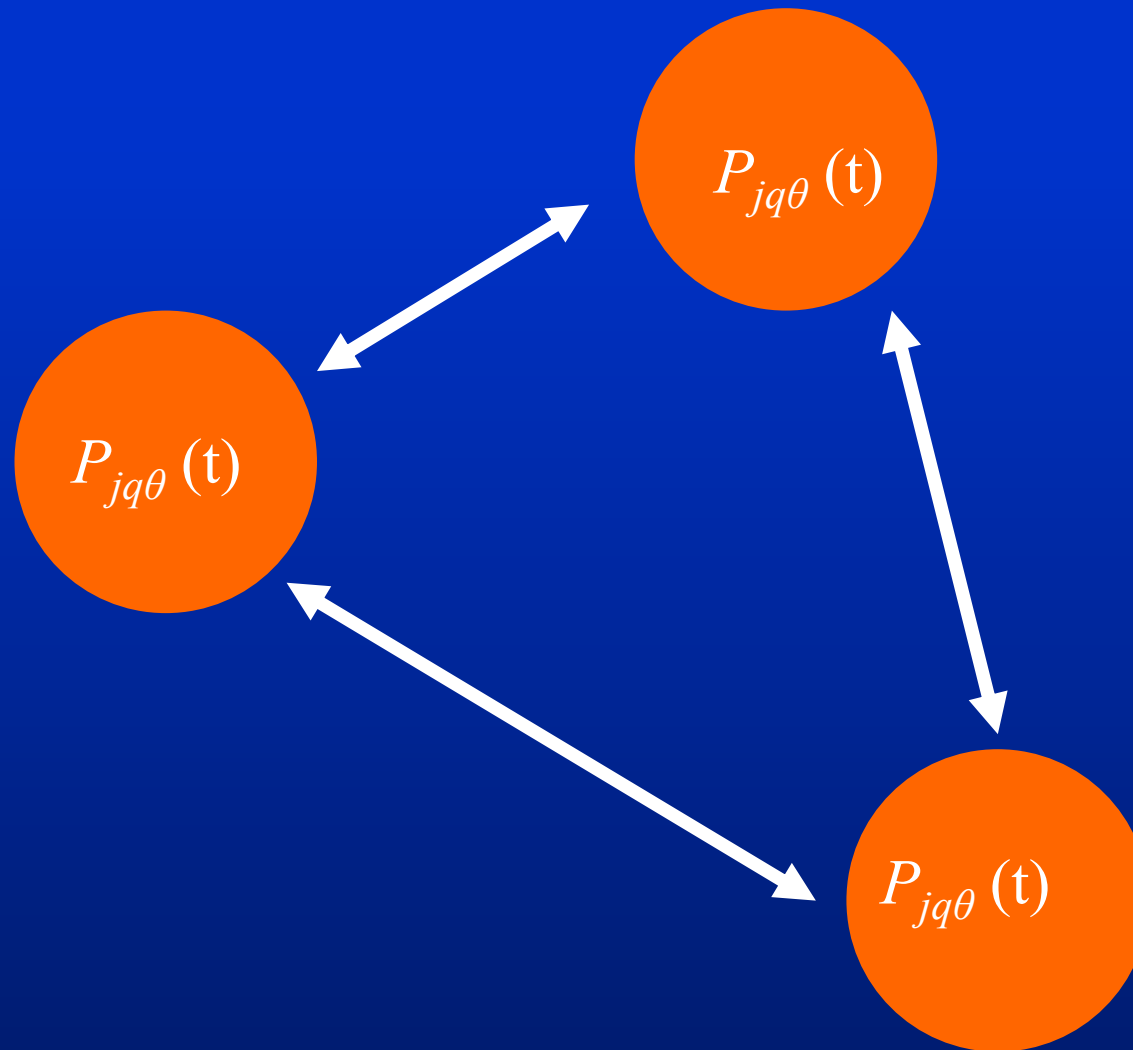
CO₂ fertilization
Land use governance

Hypothesis: "Source-sink dynamics"

Tree species distribution



SPOM (“*Stochastic Patch Occupancy Model*”)



Vulnerability to Climate Change

Model fitting

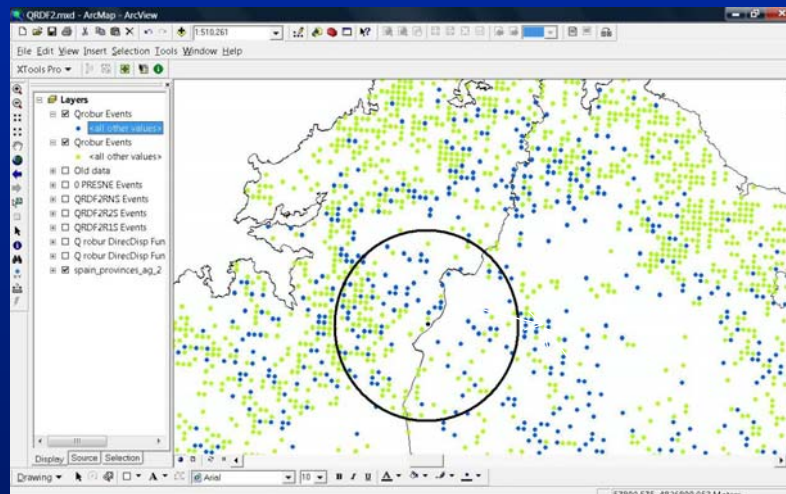
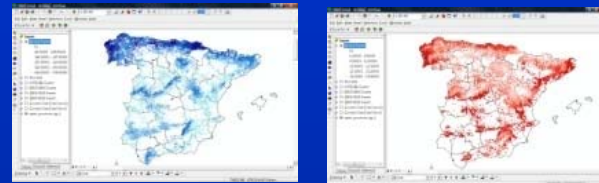
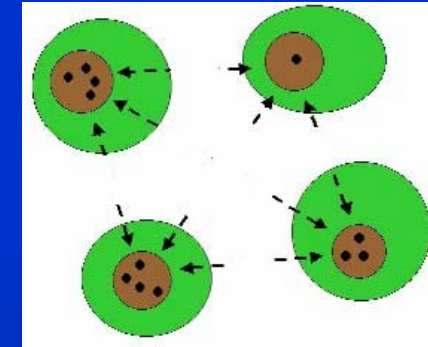
1990 2000 inside the forest

Quercus robur

0 → 1
1 → 0

$$P_{j,q,\theta} (1 \rightarrow 0) = f(P, T)$$

$$P_{j,q,\theta} (0 \rightarrow 1) = f(P, T, \text{DistF}, \text{DistSp})$$



Neighborhood

Random dispersal - Mediated dispersal

SPOM (“Stochastic Patch Occupancy Model”)

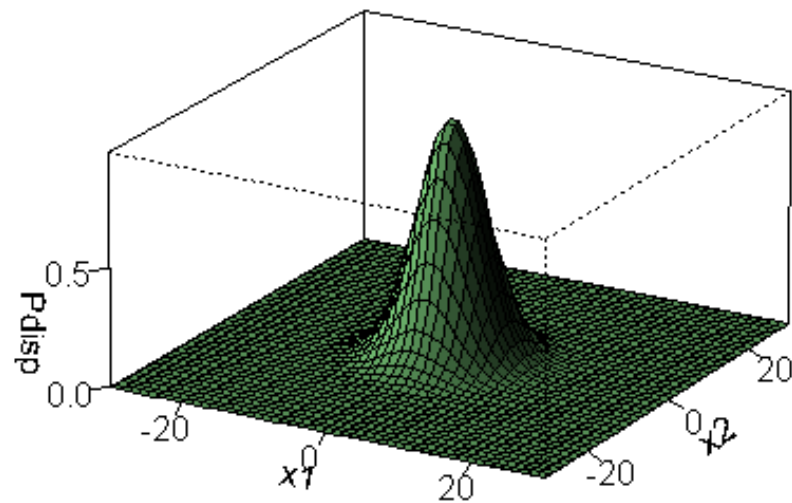
$$P[z_{j,i}(t+1) | z_{j,i}(t)] = \begin{cases} \phi_i & \text{if } z_{j,i}(t) = 1 \text{ and } z_{j,i}(t+1) = 0 \\ 1 - \phi_i & \text{if } z_{j,i}(t) = 1 \text{ and } z_{j,i}(t+1) = 1 \\ 1 - (1 - \alpha_{j,i})^{S_{j,i}(t)} & \text{if } z_{j,i}(t) = 0 \text{ and } z_{j,i}(t+1) = 1 \\ (1 - \alpha_{j,i})^{S_{j,i}(t)} & \text{if } z_{j,i}(t) = 0 \text{ and } z_{j,i}(t+1) = 0 \end{cases}$$



- 1) Distance to seed source.
- 2) Post-fire genet mortality.

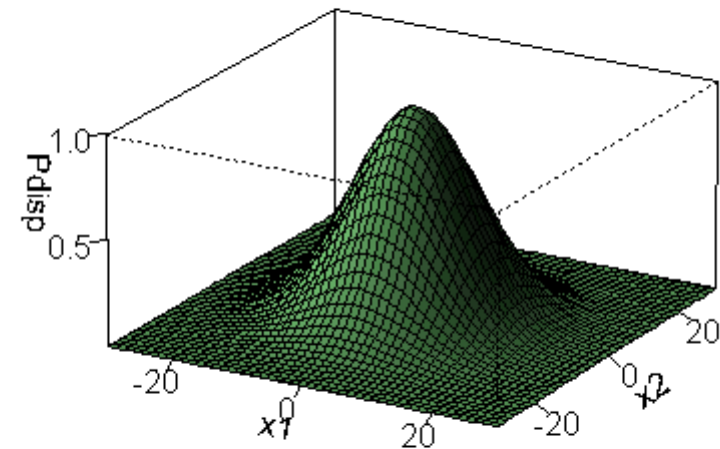
Vulnerability to Climate Change

Pinus sylvestris dispersal kernel



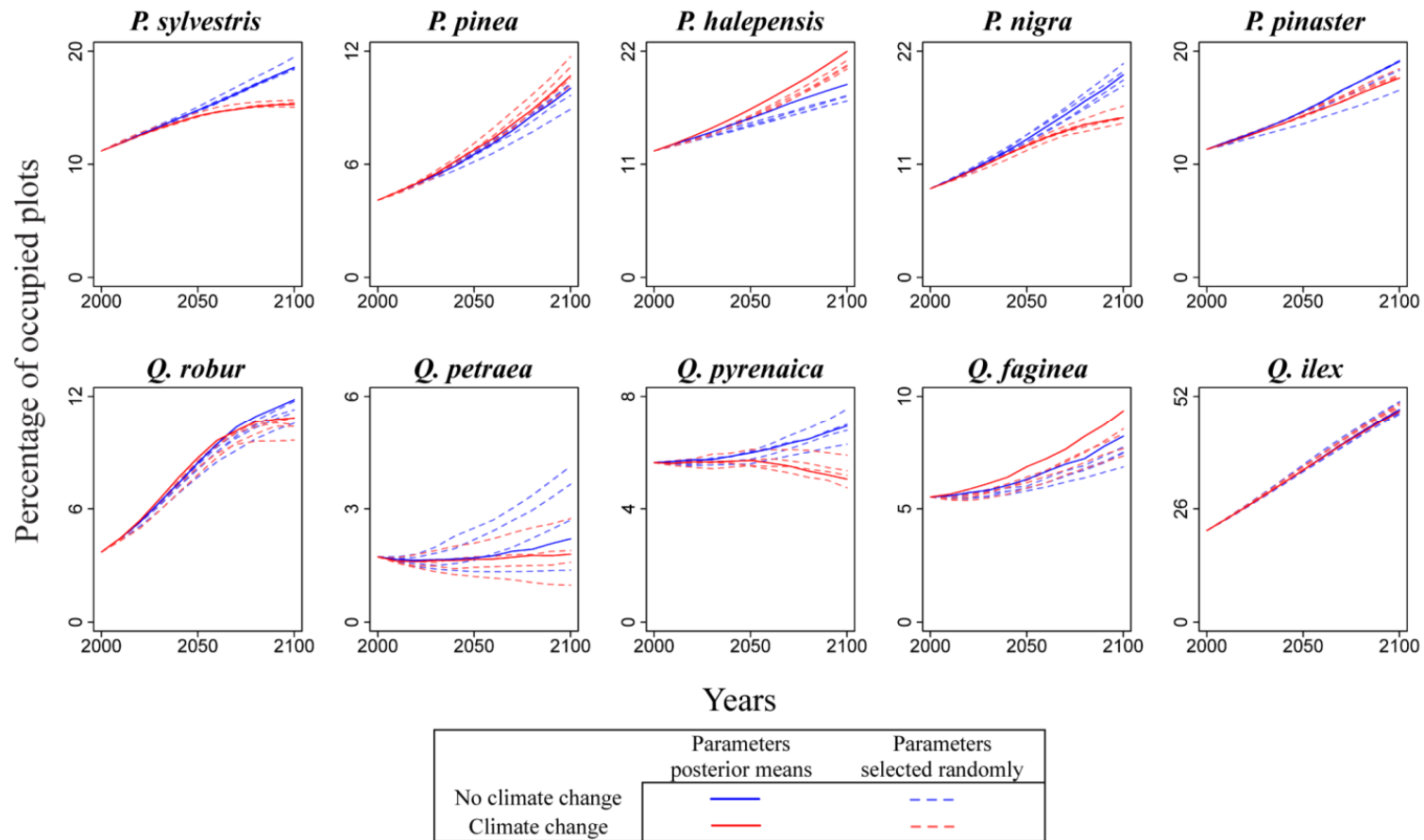
$$f(\mathbf{x}) = \exp\left(-\frac{\sqrt{x_1^2 + x_2^2}}{\sigma}\right) \quad \sigma = 6.19$$

Quercus faginea dispersal kernel



$$f(\mathbf{x}) = \exp\left(-\frac{\sqrt{x_1^2 + x_2^2}}{\sigma}\right) \quad \sigma = 12.54$$

Vulnerability to Climate Change

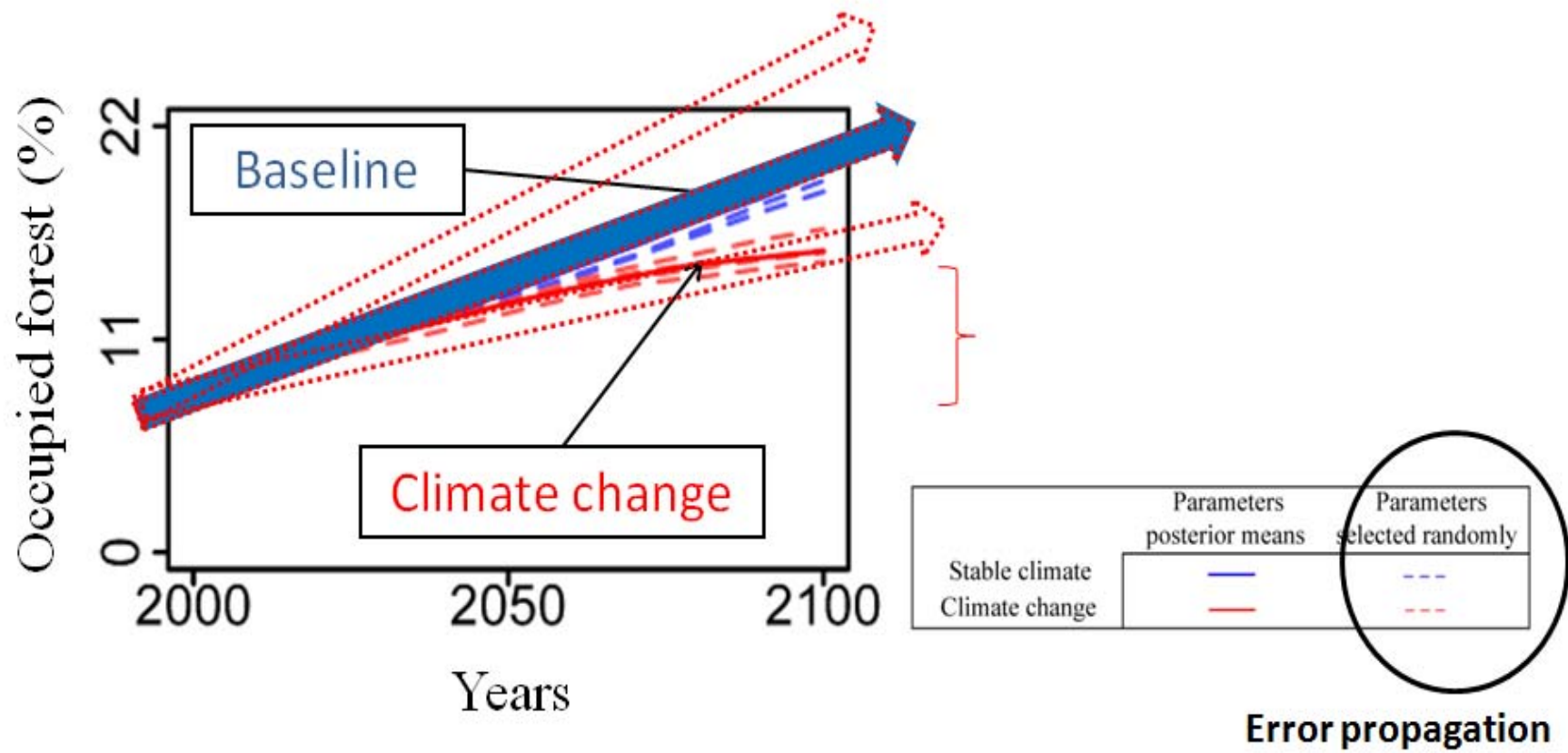


Species fraction of occupied plots from year 2000 to year 2100. One simulation using the posterior means for the parameter values, and four simulations using parameter sets drawn randomly from the samples generated by the MCMC algorithm.

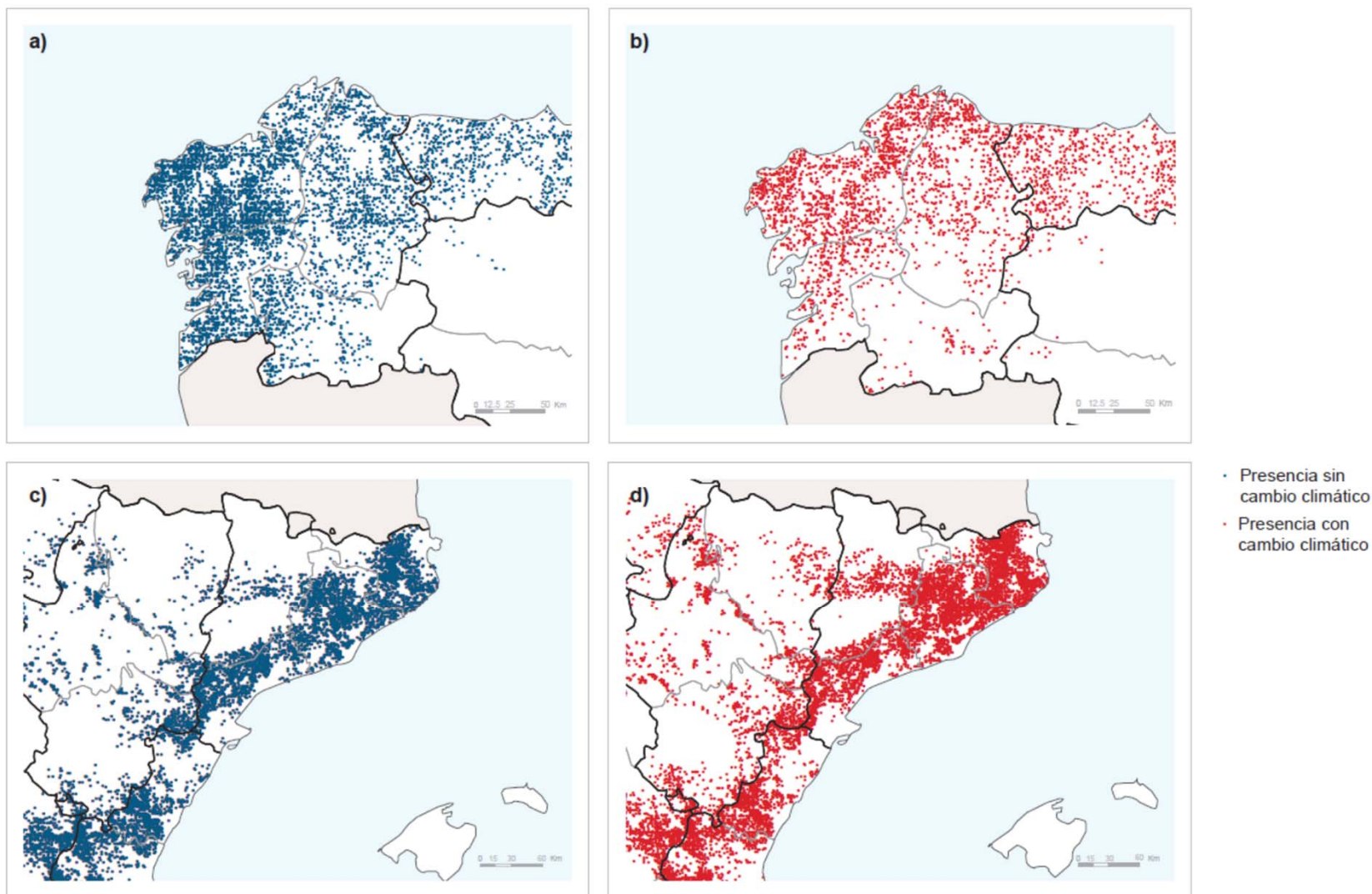
Non-equilibrium and climate change

Pinus nigra

Simulation results

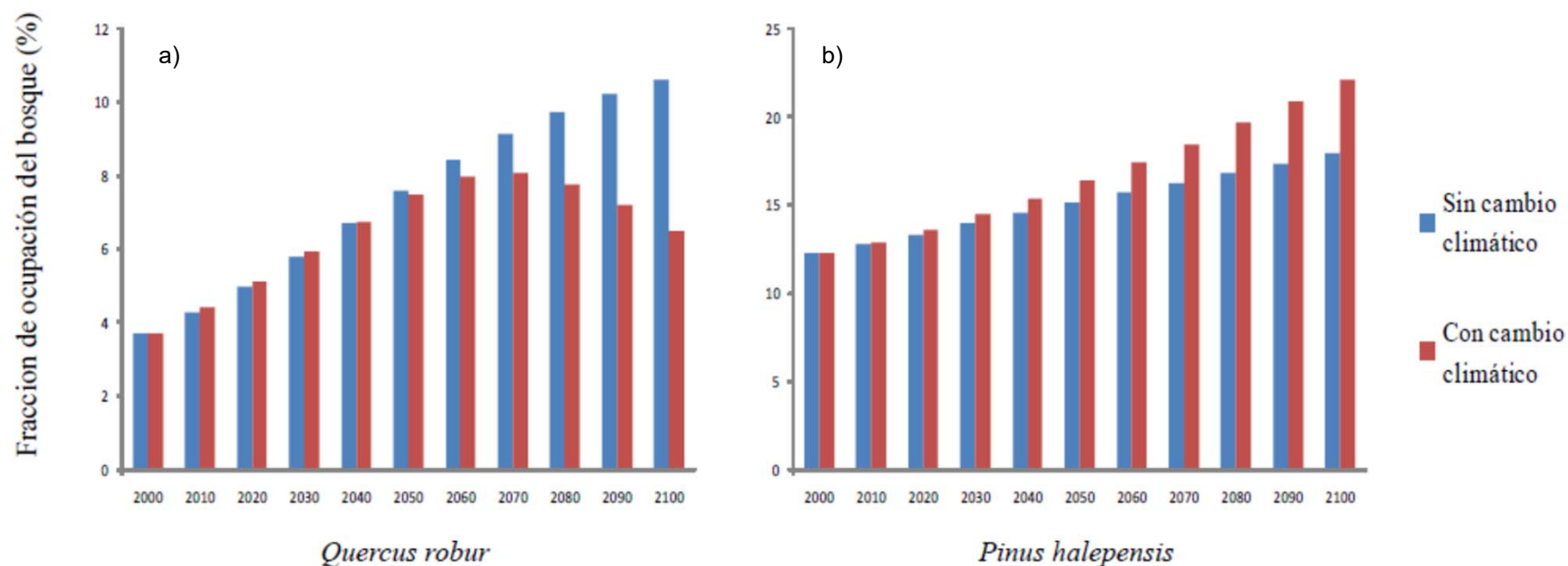


Proyecciones de la fracción de ocupación del bosque de *Q. robur* en 2100 sin y con cambio climático (a y b respectivamente) y para el *P. halepensis* (c y d respectivamente).



Fuente: Elaboración OSE a partir de García-Valdés et al. (2010)¹⁸. Nota: las Islas Baleares no se incluyeron en el análisis.

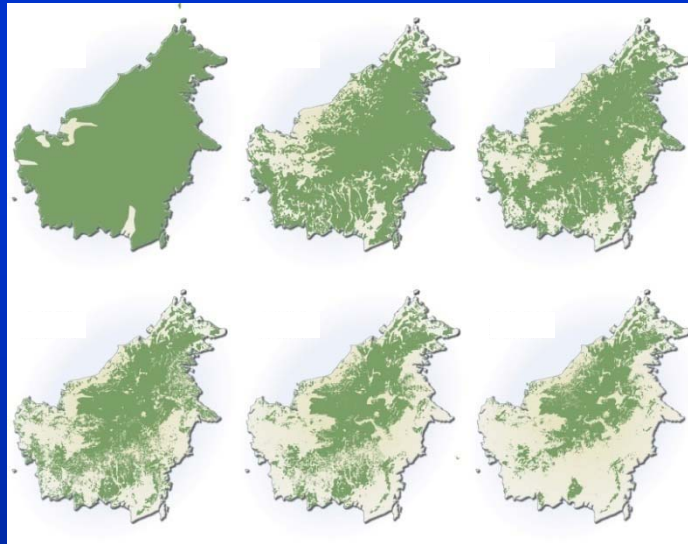
Vulnerability to Climate Change



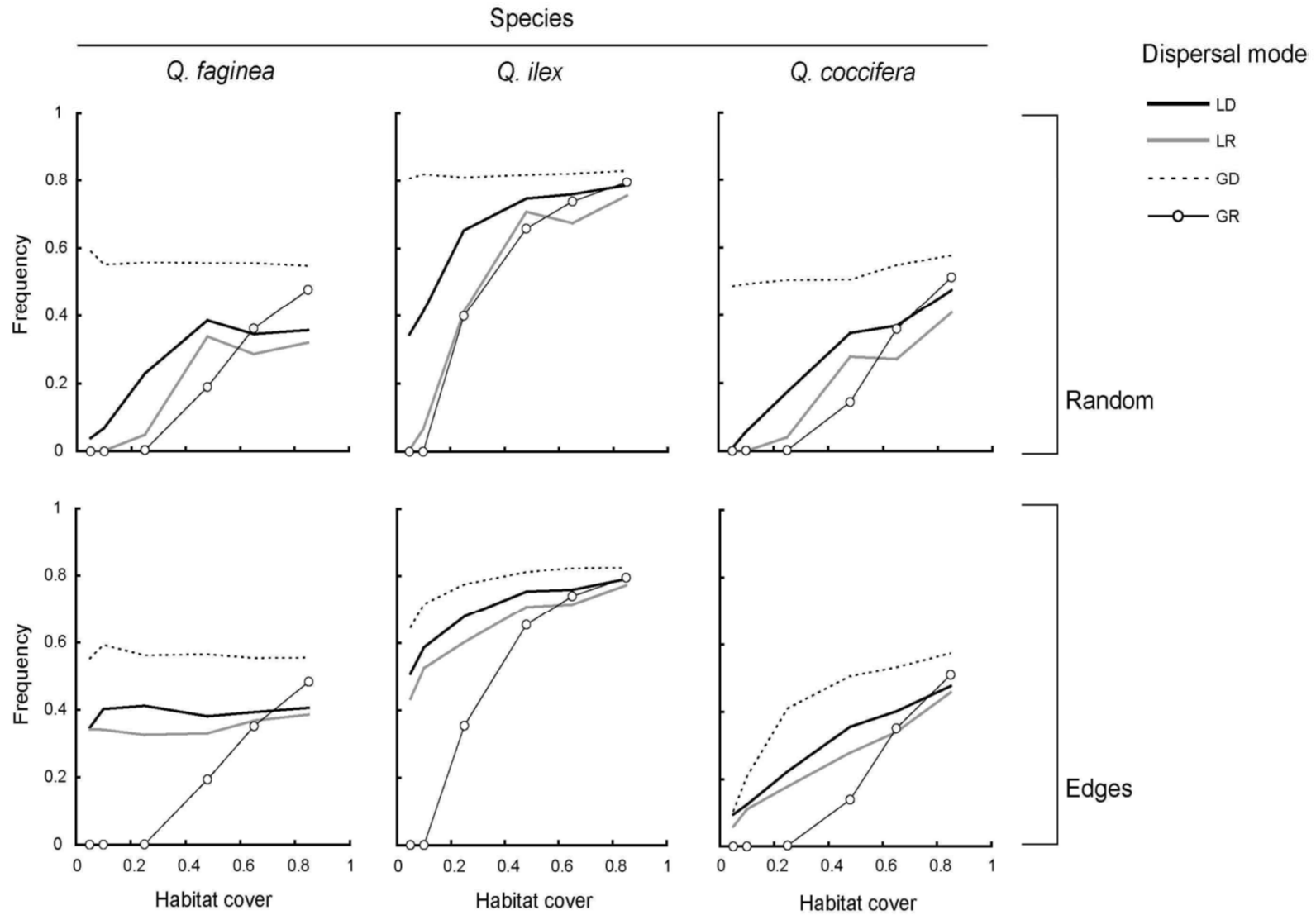
Proyecciones de la fracción de ocupación del bosque, número de parcelas en las que está presente la especie respecto al total de parcelas de bosque, en 2100 con y sin cambio climático para (a) el roble común (*Q. robur*) y (b) el pino carrasco (*P. halepensis*)

Fuente: Elaboración OSE a partir de García-Valdés *et al.* (2010).

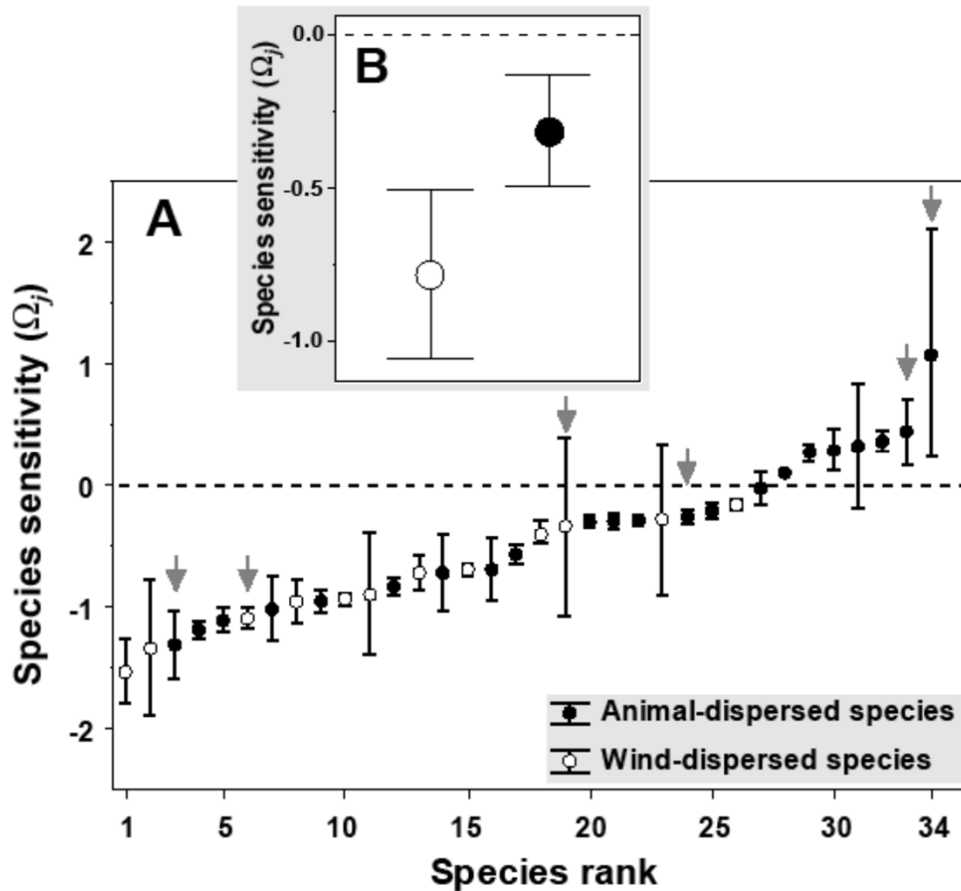
Vulnerability to habitat change



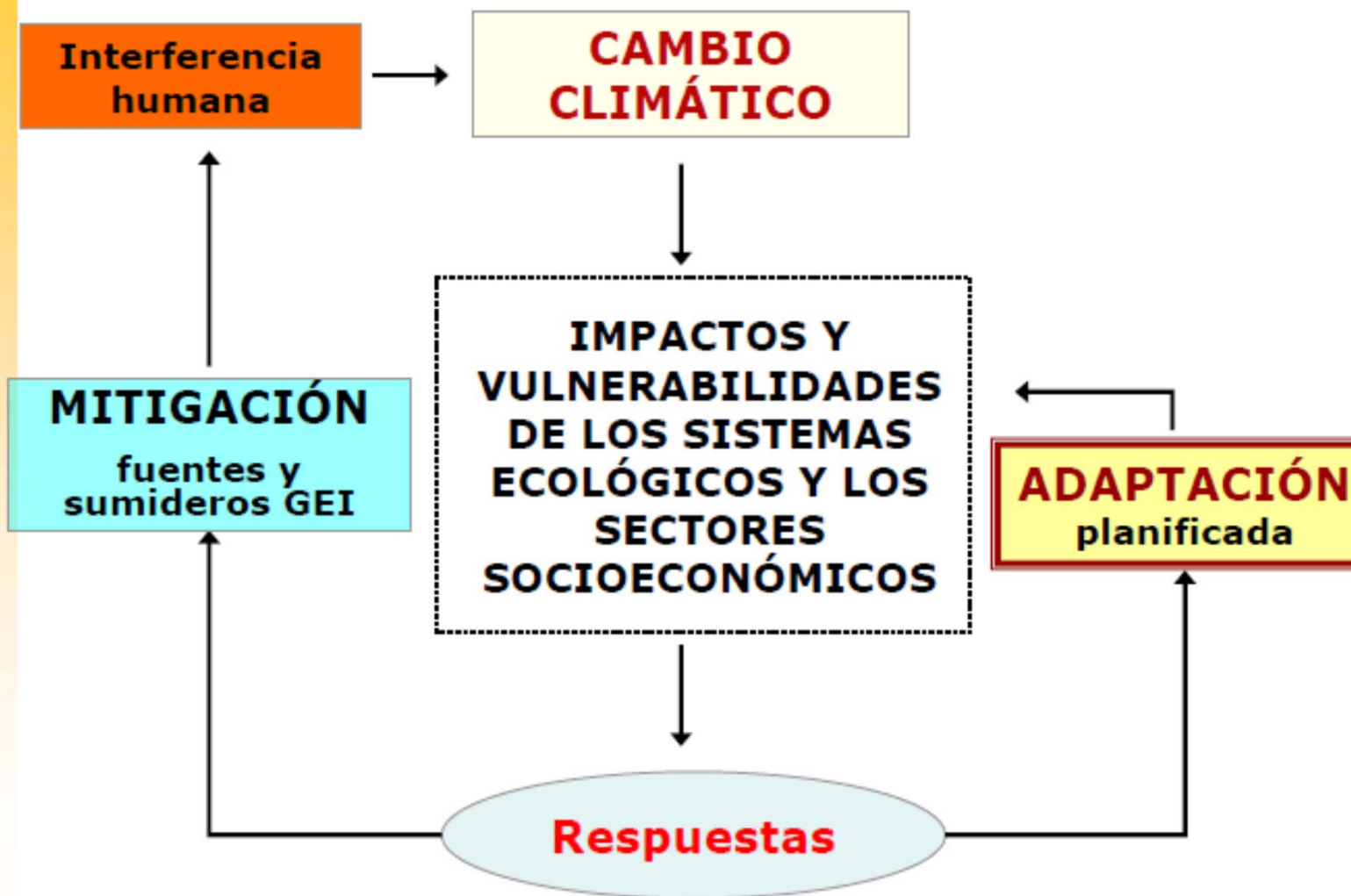
Vulnerability to habitat change



Vulnerability to habitat change



EL CAMBIO CLIMÁTICO COMO PRINCIPAL RETO AMBIENTAL



*"Cuando creíamos que teníamos
todas las respuestas, de pronto,
cambiaron todas las preguntas".*

Mario Benedetti